



## Incrocio Dalmasso XII/30

Carlomagno A., Ferrandino A., Ruffa P., Schneider A., Novello V. (2014) - Incrocio Dalmasso XII/30. In: Italian Vitis Database, www.vitisdb.it, ISSN 2282-006X

release 13/07/2015, ultimo aggiorn. 13/07/2015 url <http://vitisdb.it/accessions/show/15923>

### Informazioni gestite da

Dipartimento di Scienze Agrarie, Forestali e Alimentari - Università degli Studi di Torino

### Ringraziamenti

Ager IVD; Novello V., Carlomagno A., Ferrandino A., Kedrina O., Ruffa P., Raimondi S., Schneider A. (2014) - . In: Italian Vitis Database on-line. It.grapedb.org.

### Informazioni generali

**nome** Incrocio Dalmasso XII/30  
**codice** ITA424-064  
**nazione di selezione** Italia  
**regione di selezione** Piemonte  
**provincia di selezione** non disponibile  
**località di selezione** non disponibile  
**istituzione custode** Dipartimento di Scienze Agrarie, Forestali e Alimentari - Università degli Studi di Torino  
**collezione** Campo collezione Ampelion - Alba (CN)

### Varietà & clone

**tipo di origine** incrocio intraspecifico  
**genere** Vitis  
**specie** Vitis vinifera  
**sub specie** sativa  
**varietà** Incrocio Dalmasso XII/30  
**codice della varietà** IVD-var\_296  
**clone** non disponibile

**trueness to type** accertato con rilievi morfologici e microsatelliti

### Trueness to type

#### True-name

confermato **si**

#### Trueness to type accertato con rilievi morfologici (ampelografici)

accertamento con rilievi morfologici (ampelografici) **accertato**

#### Trueness to type accertato con microsatelliti

accertamento con microsatelliti **accertato**

loci confrontati n.d.

loci identici n.d.

discrepanze n.d.

### Profilo microsatellite standardizzato

loci:	loci predefiniti ( 9 )																	
locus SSR:	VVS2		VVMD5		VVMD7		VVMD27		VrZAG62		VrZAG79		VVMD25		VVMD28		VVMD32	
allele:	A1	A2	A1	A2	A1	A2	A1	A2	A1	A2	A1	A2	A1	A2	A1	A2	A1	A2
dimensione:	145	153	225	239	239	249	179	195	196	204	243	249	242	242	251	257	253	265

**Immagini**



**germoglio**



**foglia**



**foggia pagina superiore**



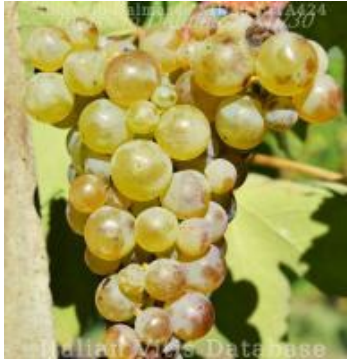


**foggia pagina inferiore**



**grappolo**

## Ampelografia

OIV	descrizione	valore		immagini
004	Giovane germoglio: densità dei peli striscianti dell'apice	7 / 5	elevata / media	
007	Germoglio: colore del lato dorsale degli internodi	3	rosso	
008	Germoglio: colore del lato ventrale degli internodi	1 / 2	verde / verde e rosso	
016	Germoglio: numero di viticci consecutivi	1	2 o meno	
051	Foglia giovane: colore della pagina superiore del lembo (4 a foglia)	3	bronzato	
053	Foglia giovane: densità peli striscianti tra le nervature principali della pagina inferiore (4a foglia)	7	elevata	
067	Foglia adulta: forma del lembo	4	orbicolare	
068	Foglia adulta: numero dei lobi	2 / 3	tre / cinque	
070	Foglia adulta: distribuzione pigmentazione antocianica nervature principali pagina superiore	2	solo al punto peziolare	
075	Foglia adulta: bollosità della pagina superiore del lembo	3 / 5	bassa / media	
076	Foglia adulta: forma dei denti	5	misto tra entrambi i lati rettilinei (livello 2) e entrambi i lati convessi (livello 3)	
079	Foglia adulta: grado di apertura / sovrapposizione dei bordi del seno peziolare	3	aperto	
080	Foglia adulta: forma della base del seno peziolare	1 (Ø 4)	a U	
081-1	Foglia adulta: denti del seno peziolare	1	assenti	
081-2	Foglia adulta: base del seno peziolare delimitata dalla nervatura	1	non delimitata	
083-2	Foglia adulta: denti nei seni laterali superiori	1	assenti	
084	Foglia adulta: densità dei peli striscianti tra le nervature principali sulla pagina inferiore del lembo	5	media	
087	Foglia adulta: densità dei peli eretti sulle nervature principali della pagina inferiore del lembo	3 / 5	bassa / media	
151	Fiore: organi sessuali	3	stami completamente sviluppati e gineceo completamente sviluppato	
155	Tralcio: fertilità delle gemme basali (gemme 1-3)	5	media (1,1-1,3)	
202	Grappolo: lunghezza (escluso il peduncolo)	3	corto	
204	Grappolo: compattezza	7	compatto	
208	Grappolo: forma	2	conico	
220	Acino: lunghezza	3	corto	
221	Acino: larghezza	5	medio	
223	Acino: forma	1	sferoidale schiacciato ai poli	
225	Acino: colore della buccia	1	verde giallo	
236	Acino: particolarità dell'aroma	1	nessuna	
241	Acino: sviluppo dei vinaccioli	3	completo	

## Note ampelografiche

Presenta foglia orbicolare tendente al pentagonale.

## Ampelometria

nessun descrittore presente per Incrocio Dalmasso XII/30

**Superampelo**

distanze		
descrittore	valore	deviazione standard
Distanza tra estremità di N2 e estremità della prima ramificazione laterale di N2	57.170	12.744
Distanza tra estremità di N2' e estremità della prima ramificazione laterale di N2'	55.550	20.829
Distanza dal seno peziolare al seno inferiore destro	58.320	9.478
Distanza dal seno peziolare al seno inferiore sinistro	56.800	4.106
Distanza dal seno peziolare al seno superiore destro	64.140	9.119
Distanza dal seno peziolare al seno superiore sinistro	65.210	7.318
Nervatura N3, lunghezza dal seno peziolare alla nervatura N4	10.970	3.213
Nervatura N3', lunghezza dal seno peziolare alla nervatura N4'	11.840	2.279
Lunghezza della nervatura N5	23.510	5.250
Lunghezza della nervatura N5'	23.560	4.005
Lunghezza della nervatura N4	46.470	6.808
Lunghezza della nervatura N4'	46.130	6.149
Larghezza della foglia	151.540	23.841
Lunghezza della foglia	156.730	26.873
Lunghezza del picciolo	83.850	20.175
Lunghezza della foglia compreso il picciolo	198.550	37.332
Distanza tra gli estremi delle nervature N2 e N2'	140.240	29.345
Lunghezza della nervatura N1	114.710	19.009
Distanza tra gli estremi delle nervature N4 e N4'	76.200	8.366
Distanza tra gli estremi delle nervature N3 e N3'	148.790	21.072
Lunghezza della nervatura N2	100.780	13.793
Larghezza del seno peziolare / Distanza tra i punti SP e SP'	-19.960	3.732
Lunghezza della nervatura N3	75.000	12.164
Lunghezza della nervatura N2'	100.491	12.266
Lunghezza della nervatura N3'	74.860	9.854

angoli		
descrittore	valore	deviazione standard
Angolo tra N1 e N2 misurato alla prima biforcazione	52.880	6.178
Angolo tra N2 e N3 misurato alla prima biforcazione	48.420	6.081
Angolo tra N1 e N2' misurato alla prima biforcazione	55.270	5.387
Angolo tra N3 e N4 alla prima biforcazione di N3	56.660	4.001
Angolo tra N2' e N3' misurato alla prima biforcazione	45.580	7.661
Angolo tra N1 e N2 misurato agli estremi delle nervature	44.510	3.912
Angolo tra N3' e N4'	55.110	5.506
Angolo tra N2 e N3 misurato agli estremi delle nervature	44.470	7.235
Angolo tra N1 e N2' misurato agli estremi delle nervature	43.580	9.010
Angolo tra N3 e N4 misurato agli estremi delle nervature	45.530	5.058
Angolo tra N2' e N3' misurato agli estremi delle nervature	48.100	4.731
Angolo di apertura del seno peziolare misurato a SP e SP'	49.090	12.039
Angolo tra N3' e N4' misurato agli estremi delle nervature	45.270	4.377
Angolo tra S e S' con centro in N1	62.310	14.370
Angolo tra D e D' con centro in N1	111.840	16.635
Angolo tra I e I' con centro in N1	56.390	5.186

rapporti		
descrittore	valore	deviazione standard
Rapporto tra l'altezza e la base del dente all'estremità della nervatura N2'	0.755	0.161
Rapporto tra l'altezza e la base del dente all'estremità della nervatura N2	0.795	0.140
Rapporto tra l'altezza e la base del dente all'estremità della nervatura N4	0.806	0.056
Media della base dei denti del lato sinistro	10.773	1.543
Media della base dei denti del lato destro	11.124	1.998
Media dell'altezza dei denti del lato sinistro	6.933	1.225
Rapporto tra l'altezza e la base del dente all'estremità della nervatura N4'	0.855	0.127
Media dell'altezza dei denti del lato destro	6.667	0.944
Rapporto tra Lunghezza e larghezza della foglia	1.035	0.088
Rapporto tra la somma degli angoli a' + b' e la somma della distanza tra il seno peziolare e il seno superiore sinistro OS' e il seno peziolare e il seno inferiore sinistro OI'	0.015	0.002
Rapporto tra la somma degli angoli a + b e la somma della distanza tra il seno peziolare e il seno superiore destro OS e il seno peziolare e il seno inferiore destro OI	0.015	0.002
Rapporto tra l'altezza e la base dei denti del lato sinistro	0.646	0.088
Rapporto tra l'altezza e la base dei denti del lato destro	0.605	0.064